

5. Halbleiter

5.1 Intrinsische Halbleiter

5.1.1 Bandstruktur, direkte & indirekte Halbleiter

Bild 5.1 Direkter Halbleiter

$$\text{Bandlücke } E_g = E_L - E_V$$

L „gap“

E_g schwach temperaturabhängig (wz. thermische Expansion)

Tabelle Bandlücken

gemessen via optische Absorption
 \downarrow
 $E_g / \text{eV bei } 300\text{K}$

$$t\omega_F > E_g$$

Material	$E_g / \text{eV bei } 300\text{K}$	
InSb	0,18	$t\omega_F > E_g$
GaAs	1,43	

} direkte HL

[Bild 5.2]

Silizium	1,12
Germanium	0,66
GaN	2,26
Diamant	5,47

} indirekte HL

Bild 5.3 Indirekte Halbleiter

hier gilt $t\omega_F + t\omega_q > E_g$

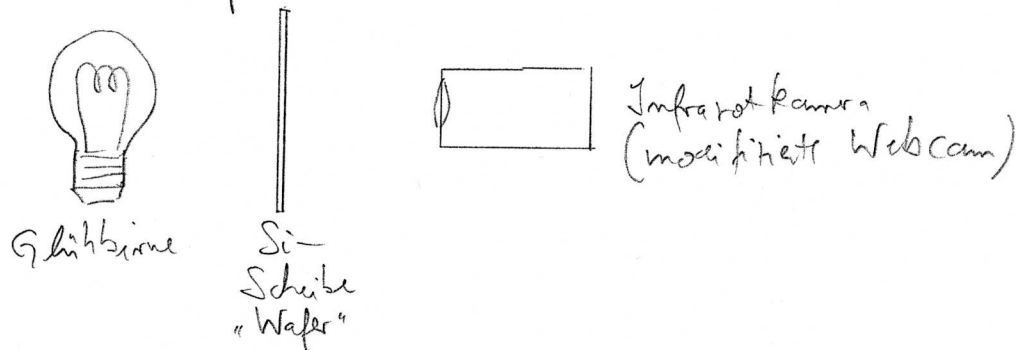
\uparrow \uparrow
Lichtquant Phonon
(Energie ☺) (Energie ☹)

$$t\omega_F + t\omega_q = t\omega_m \leftarrow \text{Quasimomentanzahl}$$

\uparrow ☹
☺

Indirekter Übergang: Impuls kommt vorwiegend vom Phonon, Energie vom Photon

Experiment: Transparenz von Silizium



5.1.2 Ladungsträgerdichte

d. Leitfähigkeit:

$$\sigma = e \cdot \frac{\text{Beweglichkeit}}{\text{Elementar-ladung}} \cdot (\text{Ladungsträgerdichte Elektron} + \text{Ladungsträgerdichte Löcher})$$

Eigleitung (intrinsic Leitfähigkeit)

- Elektronendichte im LB

$$n = \int_{E_L}^{\infty} D_L(E) \cdot f(E, T) dE$$

Zustandsdichte \uparrow Fermi-Verteilungsfunktion (Besetzungs Wahrscheinlichkeit)

- Löcherdichte im VB

$$p = \int_{-\infty}^{E_V} D_F(E) [1 - f(E, T)] dE$$

Naher Bandeschema: $E(t)$ verläuft parabelförmig
(Näherung)

\rightarrow Nutze D_L, D_V im Modell freier Ladungsträger
+ effective Masse

$$D(E) = \frac{(2m^*)^{3/2}}{2\pi^2 h^3} \sqrt{|E|}$$

Aber

$$D_L(E) = \frac{(2m_n^*)^{3/2}}{2\pi^2 h^3} \sqrt{|E - E_L|}, \quad E > E_L$$

$$D_V(E) = \frac{(2m_p^*)^{3/2}}{2\pi^2 h^3} \sqrt{|E_V - E|}, \quad E < E_V$$

Fermi-Dirac: $f(E, T) = \frac{1}{e^{\frac{E-E_F}{k_B T}} + 1} \approx e^{-\frac{E-E_F}{k_B T}}, \quad E > E_F$
 $E - E_F \gg k_B T$

$$1 - f(E, T) \approx e^{-\frac{E_F - E}{k_B T}} \quad) \quad E < E_F$$

$$n = \int_{E_L}^{\infty} D_L(E) f(E) dE = \frac{(2m_n^*)^{3/2}}{2\pi^2 h^3} e^{E_F/k_B T} \int_{E_L}^{\infty} \sqrt{|E - E_L|} e^{-\frac{E}{k_B T}} dE$$

$$= 2 \left(\frac{m_n^* k_B T}{2\pi h^2} \right)^{3/2} e^{-\frac{E_L - E_F}{k_B T}} = N_L e^{-\frac{E_L - E_F}{k_B T}}$$

$$P = 2 \left(\frac{m_p^* k_B T}{2\pi h^2} \right)^{3/2} e^{-\frac{E_V - E_F}{k_B T}} = N_V e^{-\frac{E_V - E_F}{k_B T}}$$

\uparrow
W's Effective Zustandsdichten

Produktbildung

$$n \cdot p = \mathcal{N}_L \cdot \mathcal{N}_V e^{-E_g/k_B T}$$

$$= 4 \left(\frac{k_B T}{2\pi \hbar^2} \right)^3 (m_m^* m_p^*)^{3/2} e^{-E_g/k_B T}$$

= const. bei fester Temperatur

„Massenwirkungsgesetz“

Bsp. Silizium $n = 1,1 \cdot 10^{16} \frac{1}{m^3}$, $E_g = 1,12 \text{ eV}$

Ladungsdensitäts des gesamten Festkörpers

fordert $n = p$

$$\Rightarrow \mathcal{N}_L e^{-\frac{E_L - E_F}{k_B T}} = \mathcal{N}_V e^{\frac{E_V - E_F}{k_B T}}$$

$$\Rightarrow E_F = \frac{E_L + E_V}{2} + \frac{k_B T}{2} \ln \left(\frac{\mathcal{N}_V}{\mathcal{N}_L} \right)$$

$$= \frac{E_L + E_V}{2} + \frac{k_B T}{2} \ln \left(\frac{m_p^*}{m_m^*} \right)$$

$T=0$: Fermi-Niveau liegt in der Mitte der Energiedifferenz

5.2 Dotierte Halbleiter

5.2.1 Dotierung

Bsp. Si vierwertig (sp^3 -Hybrid)

- Packt fünfwertige Atome in den Kristallverbund

z.B. As, P, Sb

→ Si-Nachbarn erzwingen 4-fache Koordination

→ Verbleibendes Elektron bleibt am positiven Rumpf des sog. Donators (As, P, Sb, ...) gebunden, nimmt aber an der Bindung zum Si nicht teil.

Bild 5.5 Dotiertes Silizium

- dreiwertige Elemente wie B, Al, Ga, In:

Fehlendes e^- wird der Umgebung entzogen

→ effektiv umgibt den Akzeptor eine positive Ladung

Energieeigenwerte, z.B. Donator

Wasserstoffmodell

$$E_\nu = -\frac{1}{2} \frac{m^* e^4}{(4\pi \epsilon_0 \epsilon_r)^2 \hbar^2} \frac{1}{\nu^2}, \quad \nu \text{ Hauptquantenzahl}$$

↑
Dielektrische Konstante des Wirtskristalls (Si: $\epsilon_r \approx 12$)

D.h. E_p sind bezogen auf das H-Atom um einen Faktor 100 - 1000 ($\epsilon_{\text{er}}, m^*$) reduziert.

Effektiver Bohr-Radius

$$a_0^{\text{eff}} = \frac{4\pi \epsilon_0 \epsilon_r \hbar^2}{m^* e^2} \approx 50 \cdot a_0 \quad (\text{Si})$$

also „Elektronenbahndurchmesser“ \approx Abstand $/ \underline{\underline{20}}$ Gitteratomen!

Silizium: $E_d \approx 30 \text{ meV}$ Ionisierungsenergie

(vgl. thermische Energie bei 300K: 25 meV);

v. Leitfähigkeit von dotierten HL ...

Bilder 5.6 & 5.7 Donator / Akzeptormenge

5.2 Dotierte Halbleiter

Donor niveaus in n-Halbleiter } sehr nahe am "Lücke Akzeptor" p " } Kante des Valenzbands, (VB) bzw. Oberkante des Leitungsbands (CB)

Schwache Bindung wegen geringer effektiver Masse des Elektrons (bzw. lochs) m^* und Abschirmung des Coulombpotentials von Protonen, also E (ca. 10-20)

Bindung reduziert um $\frac{E^2 m_e}{m_e^*}$ im Vergleich zu Elektron in Wasserstoff
also Faktor 100-1000 kleiner als 13.6 eV vergleichbar mit kT bei Raumtemperatur. \rightarrow Tab 5-1

Bohrradius entsprechend um Faktor $\frac{E m_e}{m_e^*}$ größer

typische Dichte $10^{13}/\text{cm}^3 = 10^{19}/\text{m}^3$ im Vergleich zu Dichte von Si-Atomen von $5 \cdot 10^{28}/\text{m}^3$
starke Dotierung: n^+ bzw. p^+ Halbleiter
 $\approx 10^{26}/\text{m}^3$

effektive Masse $m^* = \hbar^2 \left(\frac{d^2 E(n)}{dk^2} \right)^{-1}$

Resonanz durch Zyklotronresonanz: Halbleiter in B-Feld, $\omega_c = \frac{Be}{m^*}$ Anzahl der Resonanzfrequenzen \rightarrow starke Absorption wenn $\omega_{rf} = \omega_c$ \rightarrow Tab 5-8

bei dotiertem Halbleit ist die elektrische Potenzial Φ temperaturabhängig und über die Ladungssumme des gesuchten Kristalls definiert

$$\begin{array}{l} n + N_A^- = p + N_D^+ \\ \text{El im CB} \quad \text{ion. Löcher mit VB} \quad \text{Summe der Dichten der} \\ \text{Akzeptoren} \quad \text{ion. Ladungen pos. \& neg. Ladungslage} \\ \text{gleich} \end{array}$$

$$\text{mit } N_D^+ = N_0 (1 - f(E_0))$$

$$\text{und } N_A^- = N_A f(E_A)$$

$$f(E) = \frac{1}{\exp(\frac{E-\mu}{k_B T}) + 1}$$

Φ NB: in der Festkörperphysik wird oft statt μ E_F geschrieben, aber in der stat. Mechanik ist die Fermienergie definiert als $E_F = \mu(T=0)$

2 Arten der Anregung:

"extrinsisch" Zonisierung der Dotieratome, E_A/E_d

"intrinsisch" über E_g

typischerweise sind beide Arten der Anregung präsent (Vrausseigungen), durch Dotierung überwagt meist stark, z.B. bei n-dotiertem Halbleit $N_D \gg N_A$, alle Akzeptor niveaus gefüllt

- bei $T=0$ $\mu = E_g - E_d = E_0$
- solange $k_B T \ll E_d$ wenige ionisierte Dotieratome und $n \approx N_c \exp(-E_d/k_B T)$ ($N_c = N_L = 2 \left(\frac{m^* k_B T}{2\pi \hbar^2} \right)^{3/2}$)

(bei sauerstoffreinem Halbleit $n = N_D^+$ und $\mu = E_g - E_d/2$ und $n \approx N_c \exp(-E_d/2k_B T)$)
wegen Flussbewegung gesch ist p jetzt sehr viel kleiner als in nicht dotiertem Fall!
wenn z.B. $n_i = p_i = 10^{16}/m^3$: bei $n = 10^{20}/m^3 \rightarrow p = 10^{12}/m^3$

| Fig 5-9

Elektronen "Majoritätsladungsträger"
 Löcher "Minoritätsladungsträger"
 alles gilt entsprechend ausgehend von p-dotierten
 Halbleite.

- für $k_B T >$ einige E_F alle Donatoren invertiert
 $n = N_D - N_A \quad \mu = E_g - k_B T \ln \left(\frac{N_C}{N_D - N_A} \right)$
 "Erschöpfungs Zustand"
 N_D ist so gewählt, daß das bei Raumtemp der Fall ist
- auch höherer Temp \rightarrow Übergang zu unterschiedlichem Verhalten, Abzug aus dem VIB ins CIB
 $\mu = E_g / 2$

elektrische Leitfähigkeit $\sigma = e(n\mu_e + p\mu_h)$
 Rohilität $\mu = \frac{e^2}{m^*}$ typisch $m_e^* < m_h^*$ (außer Oe)

Elektronen und Löcher tragen vergleichbar zur el. Leitfähigkeit, aber Majoritätsladungsträger dominieren
 Temperaturabhängigkeit: generell dominiert durch $n(T)$ und $p(T)$; im Gegensatz zu Metall
 wächst σ mit T \Rightarrow Fig. 5-10
 im Erschöpfungszustand sieht man durch Auswählen der Phonenanzahl Abfall von σ mit T

5.3. Halbleiterbauelemente

wichtigste Anwendung der Festkörperphysik
 typischerweise inhomogene Halbleiter, Konzentration und Typ der Dotierung oft abhängig
 Dotierung durch Diffusion, durch lithographische Verfahren können sehr feine Strukturen erreicht werden (100nm)

Hinweis auf epoxidhdsche Schichten Fig. 5-11

5.3.1. p-n Übergang

bei Raumtrup: in n-Halbleiter sind die meisten Donatoratome ionisiert, n direkt unter CB Mehrheitsladungsträger sind Elektronen plus wenige Löcher (Majoritätsladungsträger)

in p-Halbleiter ist n direkt über VB, die meisten Akzeptoratome sind weg geladen, Löcher sind Majoritätsladungsträger plus wenige Elektronen (Majoritätsladungsträger)

bz Kontakt zwischen n und p-Seiten: Fig 5-12
Elektronen fließen auf die p-Site und füllen Löcher

=> Ausbildung einer Zone mit ^{sch} (mobilen) wenigen freien Ladungsträgern "Verarmungszone"
die Fokale sind da N_A^- und N_D^+ , bauen E-Feld auf und entsprechen des elektrostat. Potential $\Delta U = E_c - kT \ln\left(\frac{N_c}{N_D}\right) - E_v - kT \ln\left(\frac{N_V}{N_A}\right) = g - kT \ln\left(\frac{N_c N_v}{N_D N_A}\right)$
stoppt Drift der mobilen Ladungsträger
führt zu bestimmt, wohldefinierter Dicke der Verarmungszone auf beiden Seiten des Übergangs, d_p und d_n

durch das Fließen der mobilen Ladungsträger gleicht sich die reziproke Potential auf beiden Seiten an -> Bänder verbiegen sich um ΔU zwischen d_n und d_p

Berechnung zur Annäherung von schrägem Übergang zwischen Verarmungsraum und 'normalen' dotierten Halbleiter (Schottky - Modell)

$\Rightarrow | F\ddot{u} 5-13 |$

Konstante Ladungsdichte in p- und n-Region
 $d_p < x < d_n : \delta_p = -eN_A \quad 0 < x < d_n : \delta_n = +eN_D \quad \delta = 0 \text{ für } x < -d_p \text{ und } x > d_n$
 Ladungsdichte im Halbleiter: $N_A d_p = N_D d_n$

Poisson-Gleichung $\frac{d^2U}{dx^2} = -\frac{\delta}{\epsilon \epsilon_0}$

n-Seite $\frac{d^2U}{dx^2} = -\frac{eN_D}{\epsilon \epsilon_0}$

$E_x = -\frac{dU}{dx} = -\frac{e}{\epsilon \epsilon_0} N_D (d_n - x)$

$U(x) = U_n(\infty) - \frac{eN_D}{2\epsilon \epsilon_0} (d_n - x)^2$

| äquivalent auf
p-Seite

Kontinuität des Potentials bei $x=0$

$$\frac{e}{2\epsilon \epsilon_0} (N_D d_n^2 + N_A d_p^2) = U_n(\infty) - V_p(-\infty) = \Delta U$$

$$d_n = \sqrt{\frac{2\epsilon \epsilon_0 \Delta U}{e} \frac{N_A / N_D}{N_A + N_D}} \quad d_p = \sqrt{\frac{2\epsilon \epsilon_0 \Delta U}{e} \frac{N_D / N_A}{N_A + N_D}}$$

Größenordnung: $e \Delta U \approx E_g \approx 1 \text{ eV} \quad N_A \approx N_D = 10^{20} / \text{m}^3$

$$d_n = d_p \approx 1 \mu\text{m}$$

$$\epsilon = 10^{-6} \text{ V/m}$$

Kapazität der Sperrschicht: bei Querschnittsfläche A
 Ladung $Q = eN_D d_n A = eN_A d_p A$

$$C = \frac{dQ}{dU} = eN_D A \frac{d(d_n)}{dU} = \frac{A}{2} \left(\frac{N_A N_D}{N_A + N_D} \frac{2\epsilon \epsilon_0}{\Delta U} \right)$$

5.3.2 Diode

p-n Übergang mit äusserer Spannung:
 resultierender Strom hängt von Richtung
 der äusseren Spannung ab → lässt sich
 zur Stromgleichrichtung nutzen (Diode)

angelegte Spannung V fällt in Wechselrichter
 in Verarmungszone ab, da dort Resistivität
 groß. Rest des Halbleiters fastfeldfrei

$$U_n(x) - U_p(-x) = \Delta U - V$$

(pos. V sei ΔU entgegengesetzt, reduziert
 also Potentialdifferenz)

ohne externes Feld

\Rightarrow Fig. 5-14

Strom: durch thermische Bewegung werden
ständig Elektronenlochpaare erzeugt und rekombiniieren
 wieder

wird Elektron auf p-Seite nahe Grenzfläche
 erzeugt wird es durch E-Feld auf n-Seite
 transportiert und entsprechend angezogen fißt die
 "Driftstrom" oder "Feldstrom"

in Gleichgewicht wird dieser Strom durch
 einen entgegengesetzten Strom der Majoritätslekt.
 von n nach p Seite kompensiert (bewegen sich
 gegen E-Feld, d.h. nur genügend energetische
 Elektronen haben bzw.) "Diffusionsstrom"

durch Konzentrationsunterschied der Ladungsträger auf beiden Seiten

$$\text{im Gleichgewicht: } |I_{\text{diff}}| = |I_{\text{drift}}| = I_0 = C \exp\left(\frac{\mu_e - \epsilon_g - e\Delta U}{k_B T}\right)$$

$$\approx C \exp\left(\frac{-e\Delta U}{k_B T}\right)$$

wenn $V \gg \Delta U$ eingeschränkt "forward bias"

Bei V wird um eV niedriger, d.h.

Diffusionsstrom wird entsprechend größer

$$\text{Netto: } I = I_{\text{diff}} - I_{\text{drift}} = I_0 \left(\exp\left(\frac{eV}{k_B T}\right) - 1 \right)$$

wenn V und ΔU gleichgerichtet "reverse bias"

Bei V um eV höher, Diffusionsstrom entspricht wiederum

$$I = I_{\text{diff}} - I_{\text{drift}} = I_0 \left(\exp\left(\frac{-eV}{k_B T}\right) - 1 \right) \text{ immer } < I_0$$

Kennlinie Fig 5-15 p-n Diode

in Durchlassrichtung kann Schottingys stark wachsen, da Sperrrichtung vorliegt
Verarmerungszone als Spalte

5.3.3. Detektor für ionisierende Strahlung
in Sperrrichtung kann p-n Übergang als Detektor für ionisierende Strahlung verwendet werden



Fig 5-16

Verarmerungszone wird breiter

$$d_n(V) = d_n(0) \sqrt{1 - \frac{V}{\Delta U}} \quad \text{und} \quad d_p(V) = d_p(0) \sqrt{1 - \frac{V}{\Delta U}}$$

in Sperrrichtung V negativ! $e\Delta U \approx 1 \text{ eV}$

lege Spannung von 100V an \rightarrow Verarmerungszone 100 μm

5.3.4. LED und Laser

→ 5-15

p/n Übergang mit 'forward bias' als light emitting diode LED

Strom (Elektronen) fließen von n → p
Löcher p → n

Überschüssige Minoritätsladungsträger rekombinieren; wenn Prozess direkt kann Photon die Energiedifferenz emittiert werden,
wahrscheinlich in direktem Halbleiter

in sehr stark dotierten Halbleitern liegt aussenhalb der Verarmungszone chem. Potential innerhalb Leitungsband

große Anzahl Elektronen können in Zustände nahe Leitungsbandkante auf p-Seite injiziert werden "Populationsinversion"

Rekombination \leftrightarrow strukturierte Emission "laser"

5.3.5 Solarzelle

→ 5-15

inverse zu 5.3.4, wie Teilchenendlichkeit

5.3.6 MOS - Technologie

Metall-Oxid-Halbleiter-Sandwich → 5-16

Auflegen einer pos. Spannung an Metallschicht wirkt darunter liegenden p-Halbleiter zunächst eine Verarmungszone, bei höherer Spannung eine Inversionsschicht die n-Typ ist.

Leitungsband wird in der Nähe der Oberfläche verbogen. Wenn es weiterhin p kommt \rightarrow leitend MOSFET, CCD